

# 重力波で 超対称性のスケールを探る

山田 將樹

東京大学 宇宙線研



共同研究者: 鎌田歩樹

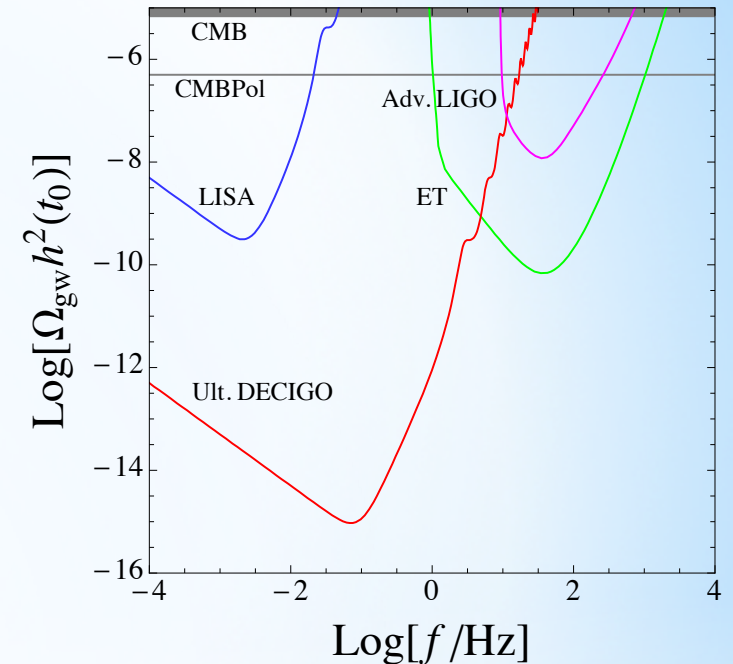
[arXiv:1407.2882]

PPP2014 @京大基研

# Introduction: 重力波観測と初期宇宙

宇宙初期における様々な現象は stochastic な重力波のソースとなる。

- topological defects (cosmic strings, domain walls)
- preheating
- 一次相転移
- inflation中の量子ゆらぎ



予言される重力波は、将来の重力波観測にかかる可能性がある

MSSMなどの超対称性理論のモデルを考えたときにも、観測可能な重力波が出うることを示す。

# 目次

---

- 準備: 平坦方向、インフレーションとHubble-induced mass
- cosmic stringの形成
- cosmic stringの3+1 simulation
- 重力波のスペクトルの見積もりと観測可能性
- まとめ

# 準備: 平坦方向

Affleck, Dine, 85  
Dine, Randall, Thomas, 96

超対称性理論では、  
ポテンシャルが平坦 ( $V_F(\phi) = V_D(\phi) = 0$ )  
なスカラー場が大量に存在する

インフレーション中やその後の宇宙の進化の中で、  
非自明な動きをする可能性がある

cf) Affleck-Dine baryogenesis

MSSMの平坦方向	B-L
$LH_u$	-1
$H_u H_d$	0
$udd$	-1
$LLe$	-1
$QdL$	-1
$QQQL$	0
$QuQd$	0
$QuLe$	0
$uude$	0
$dddLL$	-3
$uuuee$	1
$QuQue$	1
$QQQQu$	1
$(QQQ)_4 LLLe$	-1
$uudQdQd$	-1

# 準備: インフレーション

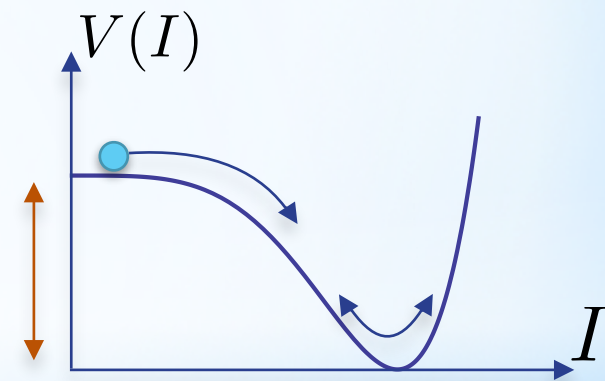
- 平坦性問題の解決
- 地平線問題の解決
- 構造の種の生成
- ...

などの理由から、宇宙初期に  
インフレーションが起きたと考えられている

有限の真空のエネルギー

$$V_F = |F_X|^2$$

$$H^2 = \frac{V_F}{3M_{\text{Pl}}^2}$$



# 準備: インフレーション

代表的なインフレーションモデル

- chaotic inflation in supergravity

$$W = mX\Phi \quad K = \frac{1}{2}(\Phi + \Phi^*)^2 + XX^* + \dots$$

inflaton (shift symmetryの方向)

$$|F_X|^2 = 3M_{\text{Pl}}^2 H_I^2$$

Kawasaki, Yamaguch, Yanagida, 00

- hybrid inflation

$$W = \lambda X(\Phi\bar{\Phi} - \mu^2)$$

water-fall field

Copeland, et.al. 94  
Dvali, Shafi, Schaefer, 94

宇宙のエネルギーを支配しているのは

インフレーション中:  $X$  のF-term ( $F_X \neq 0$ )

インフレーション後: インフラトン, water-fall field などの振動

適当な平坦方向  $\phi$  に注目する

ケーラーポテンシャル  $K = |\phi|^2 + \frac{\tilde{c}_{H_I}}{M_{\text{Pl}}^2} |X|^2 |\phi|^2 + \frac{\tilde{c}_H}{M_{\text{Pl}}^2} |I|^2 |\phi|^2$

- インフレーション中  $c_{H_I} H_I^2 |\phi|^2$

適当な平坦方向  $\phi$  に注目する

ケーラーポテンシャル  $K = |\phi|^2 + \frac{\tilde{c}_{H_I}}{M_{\text{Pl}}^2} |X|^2 |\phi|^2 + \frac{\tilde{c}_H}{M_{\text{Pl}}^2} |I|^2 |\phi|^2$

- インフレーション中  $c_{H_I} H_I^2 |\phi|^2$
- インフレーション後 (インフラトン振動期)

$$|\dot{I}|^2 \approx \frac{1}{2} \rho_I(t) \simeq \frac{3}{2} H^2(t) M_{\text{Pl}}^2 \longrightarrow \frac{\tilde{c}_H}{M_{\text{Pl}}^2} |\dot{I}|^2 |\phi|^2 \approx c_H H^2(t) |\phi|^2$$

一般に、 $c_{H_I} \neq c_H$

もし  $c_{H_I} > 0$ ,  $c_H < 0$   $\rightarrow$  インフレーション中:  $\langle \phi \rangle = 0$   
インフレーション後:  $\langle \phi \rangle \neq 0$



# cosmic strings

Kamada and M.Y., 14

インフレーション終了直後に相転移  $\langle \phi \rangle = 0 \Rightarrow \langle \phi \rangle \neq 0$  が起きる

$W = \frac{\lambda}{nM_{\text{Pl}}^{n-3}} \phi^n$  によって stabilize されたたとすると、

$$V(\phi) = m_\phi^2 |\phi|^2 - |c_H| H^2 |\phi|^2 + \frac{\lambda^2}{M_{\text{Pl}}^{2n-6}} |\phi|^{2(n-1)} \quad \rightarrow \quad \langle \phi \rangle = \left( \sqrt{\frac{|c_H|}{n-1}} \frac{HM_{\text{Pl}}^{n-3}}{\lambda} \right)^{1/(n-2)}$$

ex)  $H_u L_i$  平坦方向  $H_u = \begin{pmatrix} \phi \\ 0 \end{pmatrix} \quad L_1 = \begin{pmatrix} 0 \\ \phi \end{pmatrix}$

$\left[ \begin{array}{l} \text{SU}(2) \times \text{U}(1)_L \text{ local symmetry} \rightarrow \text{U}(1)_{\text{EM}} \\ \text{U}(1) \text{ global symmetry} \rightarrow \text{completely broken} \end{array} \right.$



この相転移によって  
global cosmic stringが形成される

# cosmic strings

Kamada and M.Y., 14

インフレーション終了直後に相転移  $\langle \phi \rangle = 0 \Rightarrow \langle \phi \rangle \neq 0$  が起きる

$W = \frac{\lambda}{nM_{\text{Pl}}^{n-3}} \phi^n$  によって stabilize されたたとすると、

$$V(\phi) = m_\phi^2 |\phi|^2 - |c_H| H^2 |\phi|^2 + \frac{\lambda^2}{M_{\text{Pl}}^{2n-6}} |\phi|^{2(n-1)} \rightarrow \langle \phi \rangle = \left( \sqrt{\frac{|c_H|}{n-1}} \frac{H M_{\text{Pl}}^{n-3}}{\lambda} \right)^{1/(n-2)}$$

→ cosmic string が形成される

$$H^2(t) = \frac{\rho_I(t)}{3M_{\text{Pl}}^2} \propto a^{-3}$$

$|c_H| H^2(t) \simeq m_\phi^2$  となったときに

原点まわりに振動を始める

→ cosmic string が消える

この間、

cosmic string から

重力波が発生する

このシグナルを見ると

平坦方向の soft mass  $m_\phi$

の情報が得られる!

# cosmic strings

Kamada and M.Y., 14

$$V(\phi) = m_\phi^2 |\phi|^2 - |c_H| H^2 |\phi|^2 + \frac{\lambda^2}{M_{\text{Pl}}^{2n-6}} |\phi|^{2(n-1)}$$

この場合に形成されるcosmic stringの性質:

- $c_H$  が小さすぎるとHubble frictionが効いてcosmic stringが形成されない

➡  $|c_H| \gtrsim 5$  が必要

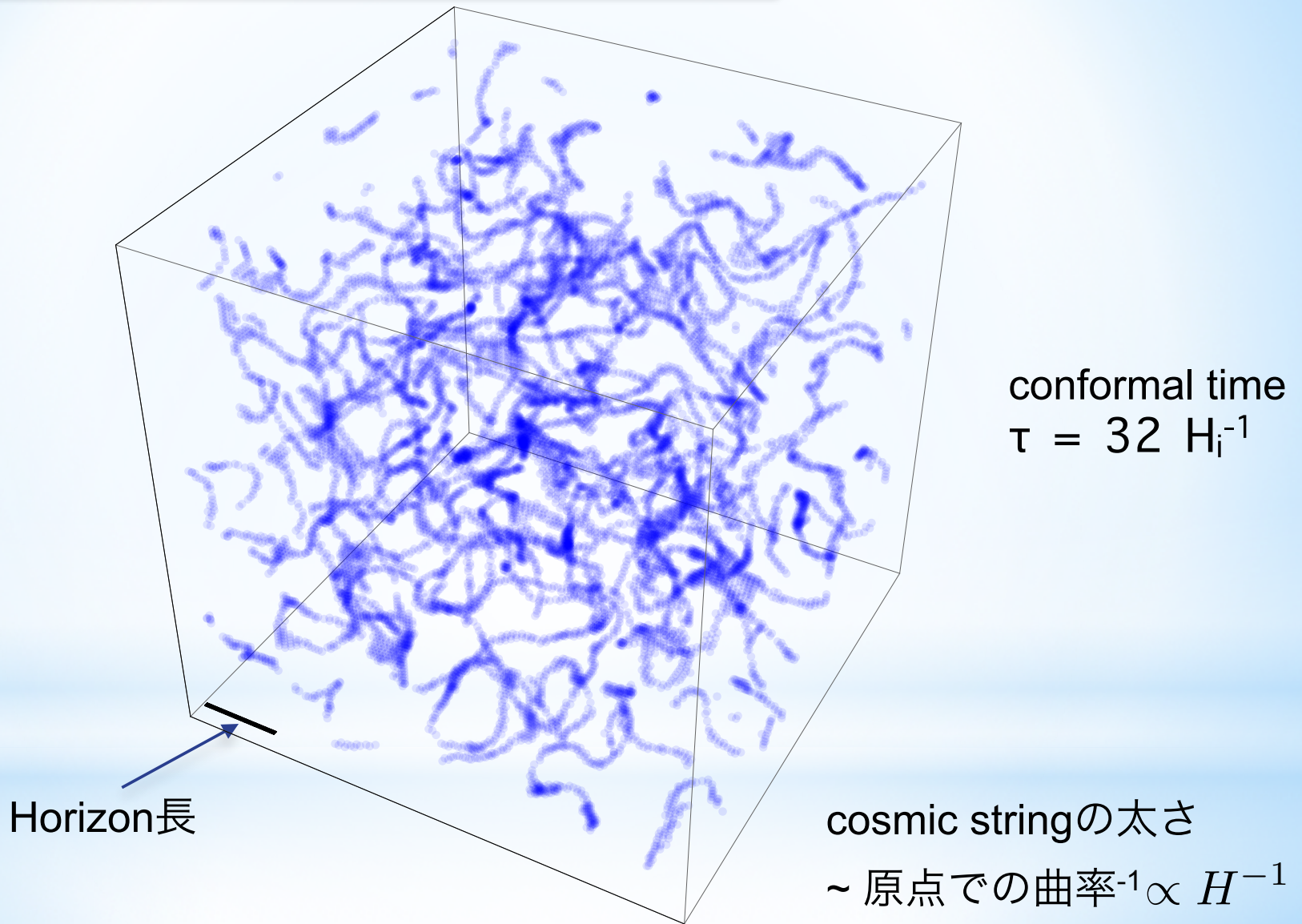
- horizon内にO(1)本 (scaling則)

- 単位長さあたりのエネルギー  $\mu \sim \langle \phi \rangle^2$        $\langle \phi \rangle = \left( \sqrt{\frac{|c_H|}{n-1}} \frac{H M_{\text{Pl}}^{n-3}}{\lambda} \right)^{1/(n-2)}$

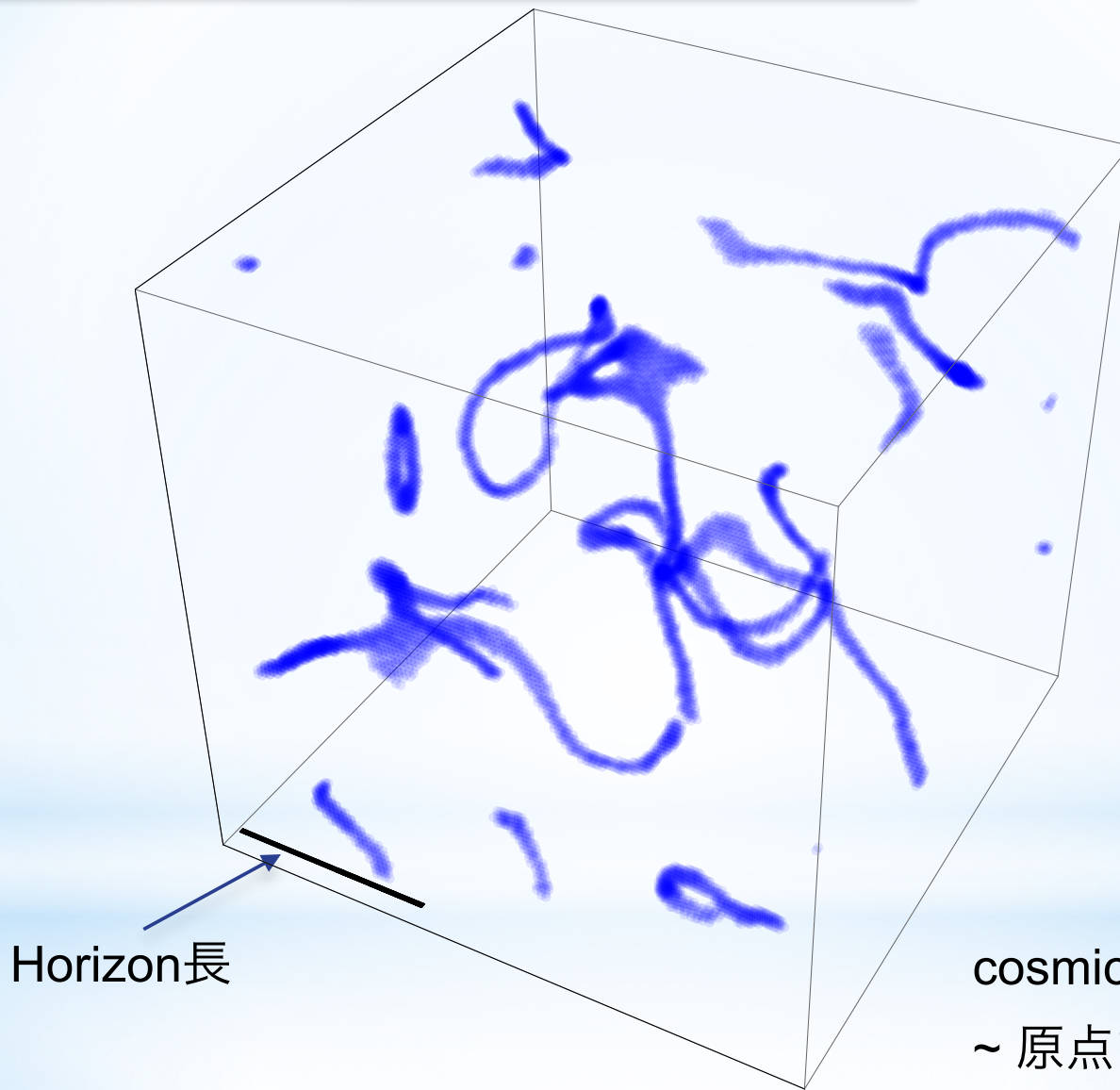
- cosmic stringの太さ  $\sim$  原点まわりの曲率 $^{-1} \sim H^{-1}$

# 3+1 simulation

# Calculations: 3+1 次元シミュレーション



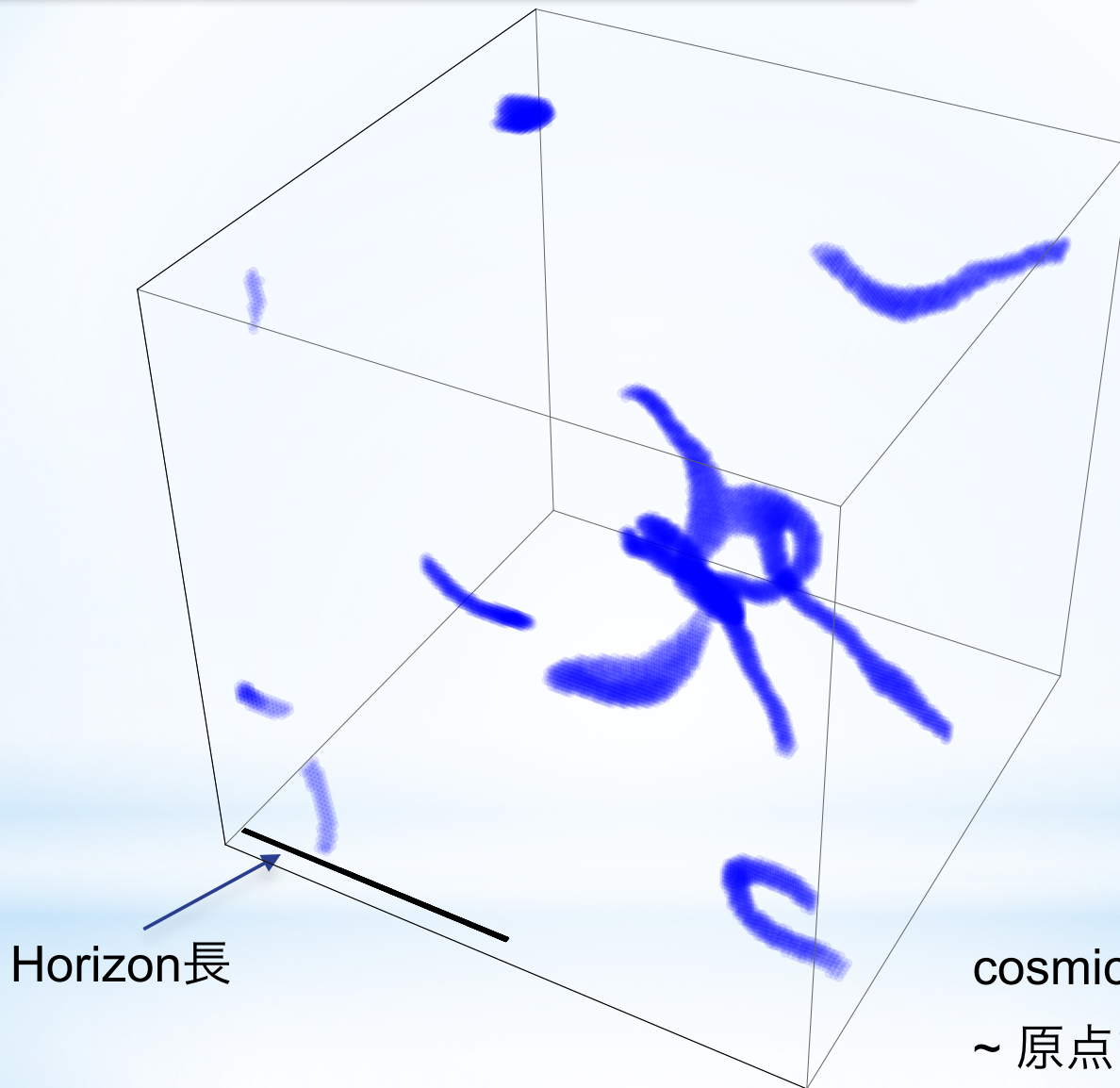
# Calculations: 3+1 次元シミュレーション



conformal time  
 $\tau = 70 H_i^{-1}$

cosmic stringの太さ  
~ 原点での曲率<sup>-1</sup>  $\propto H^{-1}$

# Calculations: 3+1 次元シミュレーション



conformal time  
 $\tau = 100 H_i^{-1}$

cosmic stringの太さ  
~ 原点での曲率 $^{-1} \propto H^{-1}$

# cosmic stringからの 重力波のスペクトル



# Calculations: 重力波のスペクトルの形

Kamada and M.Y., 14

- cosmic stringはホライズン内に  $\mathcal{O}(1)$  本で、太さもHorizon程度  
→ ホライズン長程度の波長 ( $k_{\text{peak}} \simeq aH(t)$ )の重力波を出し続ける

- naiveには:

horizon sizeの物体(M)のquadrupole moment:  $Q \sim H^{-2} M \sim H^{-3} \mu$

重力波のエネルギー:  $\Delta E_{\text{gw}} \sim H^{-1} \times (\text{Luminosity}) \sim H^{-1} M_{\text{Pl}}^{-2} \ddot{Q}^2$

$$\Rightarrow \Delta \Omega_{\text{gw}} \sim \frac{H^3 \Delta E_{\text{gw}}}{H^2 M_{\text{Pl}}^2} \sim \left( \frac{\langle \phi \rangle}{M_{\text{Pl}}} \right)^4$$

$$\Omega_{\text{gw}}(\tau) \equiv \frac{1}{\rho_{\text{tot}}(\tau)} \frac{d\rho_{\text{gw}}(\tau)}{d \log k}$$

# Calculations: 重力波のスペクトルの形

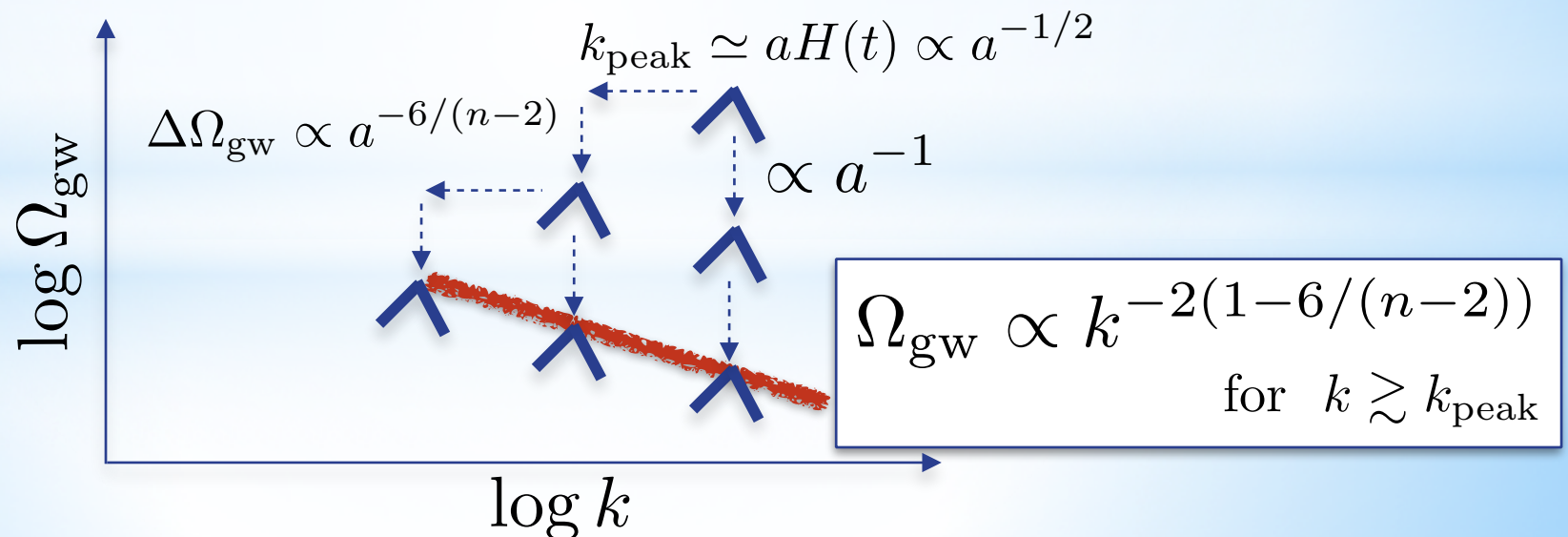
Kamada and M.Y., 14

- cosmic stringはホライズン内に  $\mathcal{O}(1)$  本で、太さもHorizon程度  
 → ホライズン長程度の波長 ( $k_{\text{peak}} \simeq aH(t)$ )の重力波を出し続ける

$$\Delta\Omega_{\text{gw}}|_{\text{peak}} \sim \left( \frac{\langle\phi\rangle}{M_{\text{Pl}}} \right)^4 \propto H^{4/(n-2)} \propto a^{-6/(n-2)}$$

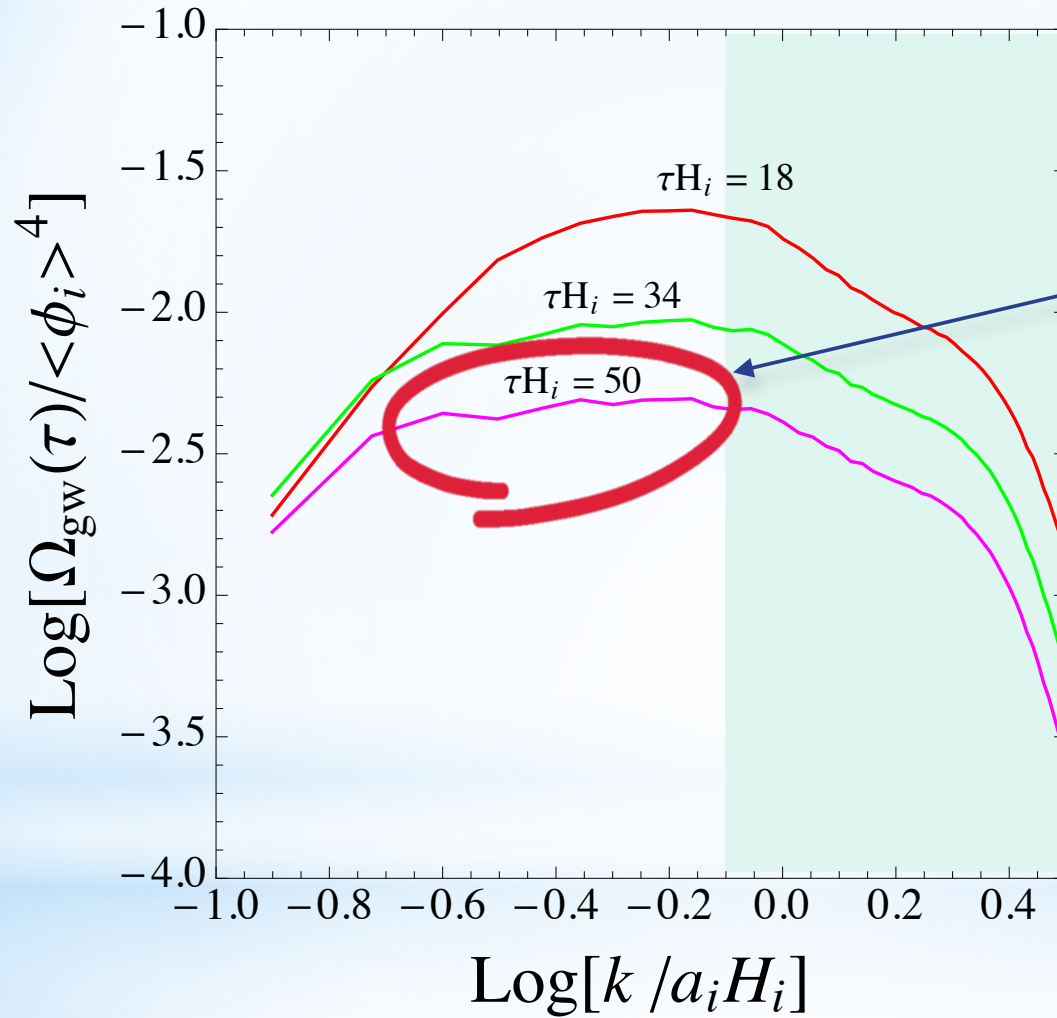
$$\langle\phi\rangle = \left( \sqrt{\frac{|c_H|}{n-1}} \frac{HM_{\text{Pl}}^{n-3}}{\lambda} \right)^{1/(n-2)}$$

- インフラトン振動期 (物質優勢期)なので  
 ソースがなければ  $\Omega_{\text{gw}} \propto a^{-1}$



# Calculations: 重力波のスペクトルの形

Kamada and M.Y., 14



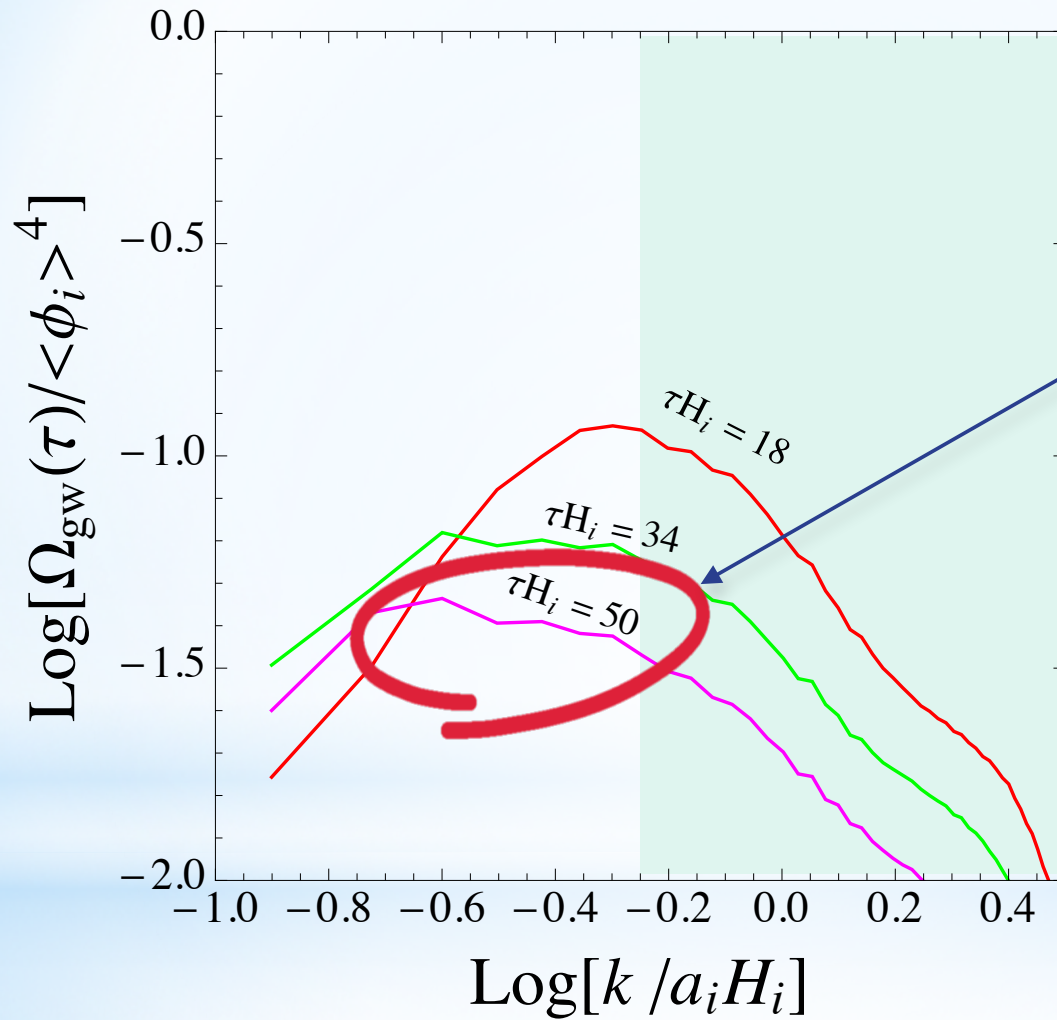
n=8

$$\Omega_{\text{gw}} \propto k^0$$

for  $k \gtrsim k_{\text{peak}}$

# Calculations: 重力波のスペクトルの形

Kamada and M.Y., 14



n=14

$$\Omega_{\text{gw}} \propto k^{-1}$$

for  $k \gtrsim k_{\text{peak}}$

# Calculations: 重力波のスペクトルの形

Kamada and M.Y., 14

- 重力波の計算:

$$h''_{ij} + 2\frac{a'}{a}h'_{ij} + k^2 h_{ij} = 16\pi G T_{ij}^{TT}$$

$$\rho_{\text{gw}} = \frac{1}{32\pi G} \left\langle \dot{h}_{ij}(t, x) \dot{h}_{ij}(t, x) \right\rangle$$

$$\Omega_{\text{gw}}(\tau) \equiv \frac{1}{\rho_{\text{tot}}(\tau)} \frac{d\rho_{\text{gw}}(\tau)}{d \log k}$$

- Horizonを超えたスケールに相関がないことから、  
large scaleでの  $k$  依存性は  $T_{ij}^{TT}$  の詳細によらず決まる

$$\left[ \begin{array}{l} \text{物質優勢期にホライズンに入るモードは } \Omega_{\text{gw}} \propto k \\ \text{輻射優勢期にホライズンに入るモードは } \Omega_{\text{gw}} \propto k^3 \\ \rightarrow k \simeq aH(t_{\text{RH}}) \text{ でスペクトルが折れ曲がる} \end{array} \right.$$

Dufaux, et.al. 07  
Kawasaki, Saikawa, 11

# Calculations: 重力波のスペクトルの形

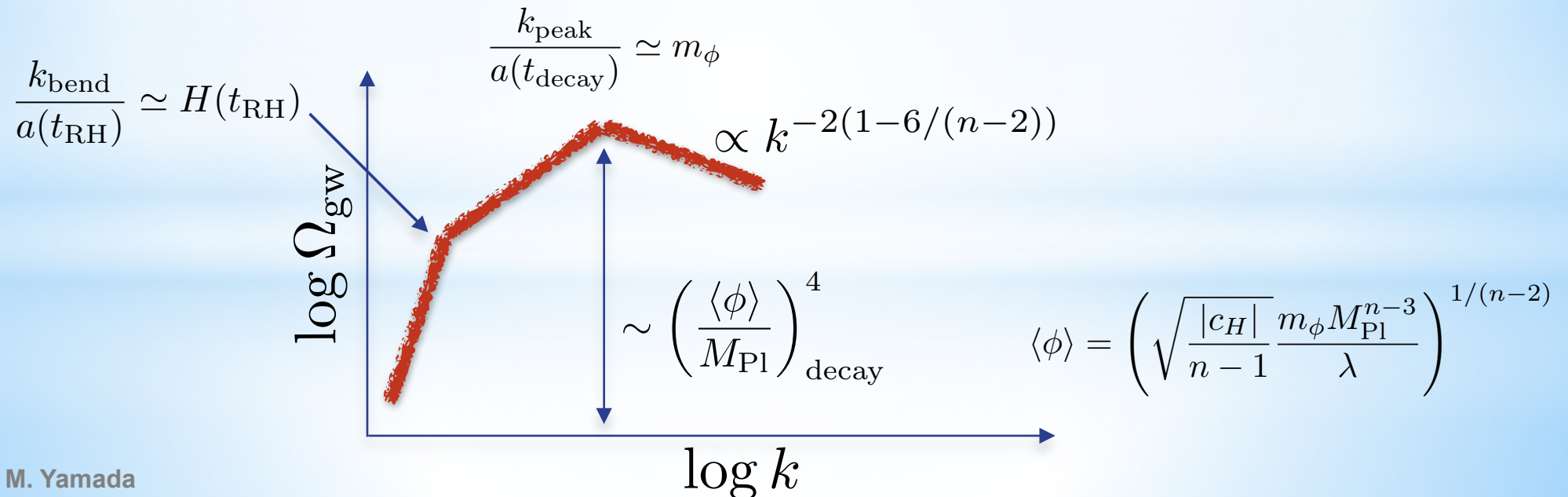
Kamada and M.Y., 14

$$V(\phi) = m_\phi^2 |\phi|^2 - |c_H| H^2 |\phi|^2 + \frac{\lambda^2}{M_{\text{Pl}}^{2n-6}} |\phi|^{2(n-1)}$$

- cosmic stringsは  $H(t) \simeq m_\phi$  となったときに消滅する

このときに重力波のスペクトルが”固定”される

➡ peakの波数はredshiftしていく  
物質優勢期の間は  $\Omega_{\text{gw}} \propto a^{-1}$



# Calculations: 重力波の観測可能性

Kamada and M.Y., 14

現在でのenergy density:

$$\begin{aligned} \Omega_{\text{gw}} h^2(t_0) &\simeq \Omega_r h^2 \left( \frac{g_s(t_0)}{g_s(t_{\text{RH}})} \right)^{4/3} \left( \frac{g_*(t_{\text{RH}})}{g_*(t_0)} \right) \left( \frac{H_{\text{RH}}}{H_{\text{decay}}} \right)^{2/3} \Omega_{\text{gw}}(t_{\text{decay}}) \\ &\sim 10^{-7} \left( \frac{m_\phi}{10^3 \text{ GeV}} \right)^{-2/3} \left( \frac{T_{\text{RH}}}{10^9 \text{ GeV}} \right)^{4/3} \left( \frac{\langle \phi \rangle}{M_{\text{Pl}}} \right)^4 H_{\text{decay}} \simeq m_\phi \\ &\qquad \qquad \qquad \langle \phi \rangle = \left( \sqrt{\frac{|c_H|}{n-1}} \frac{m_\phi M_{\text{Pl}}^{n-3}}{\lambda} \right)^{1/(n-2)} \end{aligned}$$

現在でのpeak frequency:

$$\begin{aligned} f_0 &\simeq \left( \frac{g_s(t_0)}{g_s(t_{\text{RH}})} \right)^{1/3} \left( \frac{T_0}{T_{\text{RH}}} \right) \left( \frac{H_{\text{RH}}}{H_{\text{decay}}} \right)^{2/3} \frac{k_{\text{peak}}}{2\pi a(t_{\text{decay}})} \\ &\sim 10^3 \text{ Hz} \left( \frac{m_\phi}{10^3 \text{ GeV}} \right)^{1/3} \left( \frac{T_{\text{RH}}}{10^9 \text{ GeV}} \right)^{1/3} \end{aligned}$$

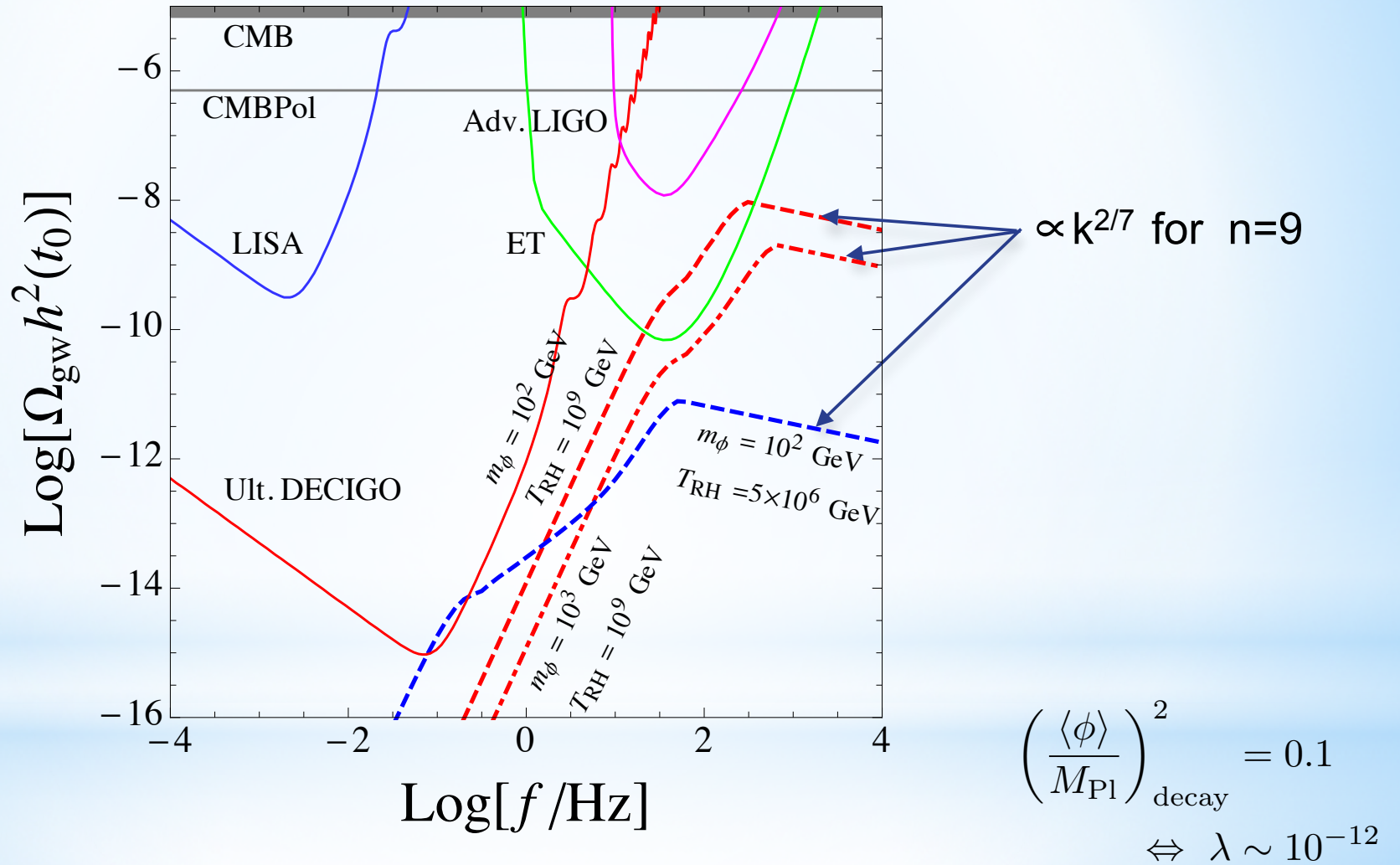
現在でのbend frequency:

$$\begin{aligned} f_{\text{bend}} &= \left( \frac{g_s(t_0)}{g_s(t_{\text{RH}})} \right)^{1/3} \left( \frac{T_0}{T_{\text{RH}}} \right) \frac{k_{\text{bend}}}{2\pi a(t_{\text{RH}})} \\ &\simeq 30 \text{ Hz} \left( \frac{T_{\text{RH}}}{10^9 \text{ GeV}} \right) \end{aligned}$$

全て観測できれば、  
 $m_\phi$ ,  $T_{\text{RH}}$ ,  $\lambda$ ,  $n$   
 の全てがわかる!

# Calculations: 重力波の観測可能性

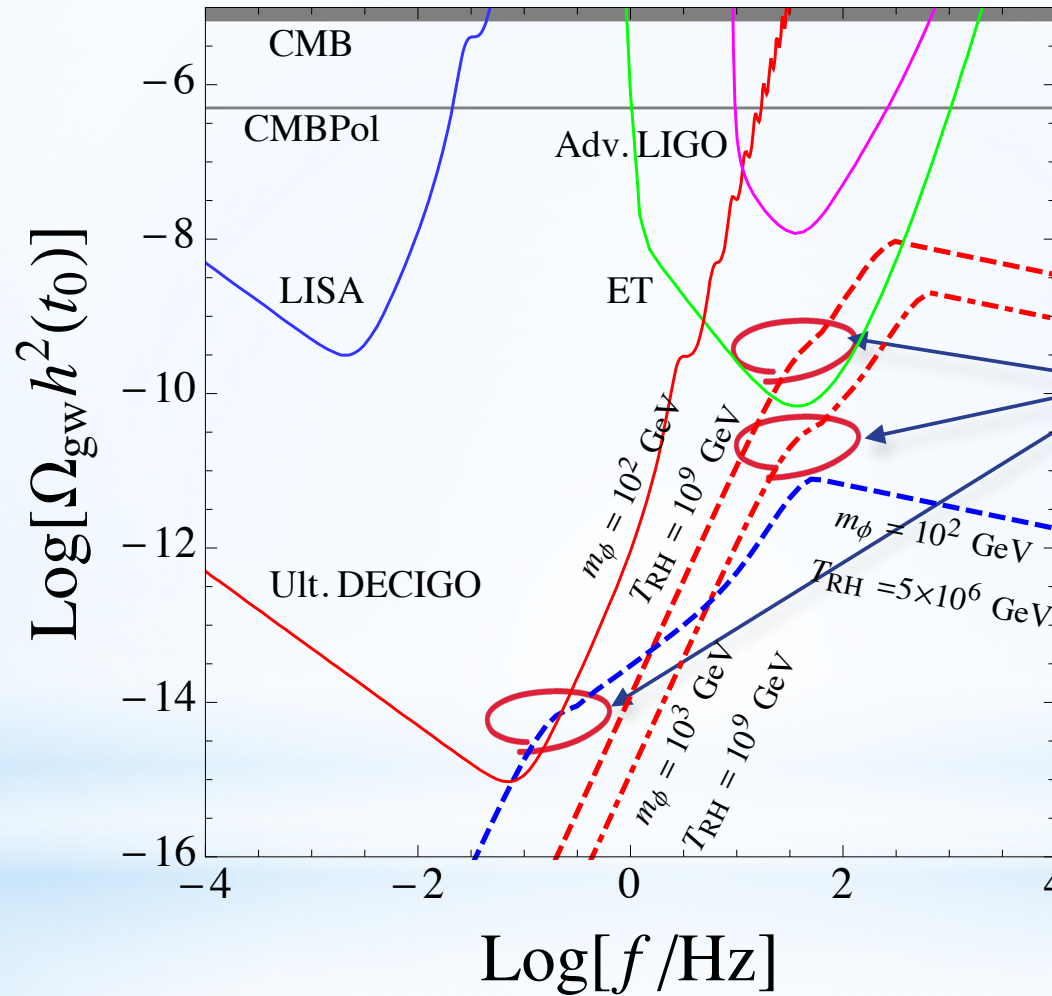
Kamada and M.Y., 14





# Calculations: 重力波の観測可能性

Kamada and M.Y., 14



$k \simeq aH(t_{RH})$   
での折れ曲がり

$$\left( \frac{\langle \phi \rangle}{M_{Pl}} \right)_{\text{decay}}^2 = 0.1$$

$$\Leftrightarrow \lambda \sim 10^{-12}$$

# Summary

Kamada and M.Y., 14

- 超対称性理論に一般的に現れるスカラー場の平坦方向に注目すると、Hubble-induced massの符号が逆転することによって、インフレーション直後にcosmic stringが形成されうる。
  - このcosmic stringは  $H(t) \simeq \frac{m_\phi}{\sqrt{c_H}}$  となったときに自然に消滅する。
- cosmic stringが出す重力波のスペクトルを観測することによって、平坦方向の質量  $m_\phi$  , 宇宙の再加熱温度  $T_{RH}$  などを得ることができる。